

日本電信電話公社 茨城電気通信研究所 正員 ○保科 宏
 正員 宮本 泰
 正員 片桐 敏昭

1. まえがき 密閉型排土機構としてローラリスクリーパ方式を取り上げ、砂質土に適用した場合、土圧ならびに内部摩擦角が大きくなると、せん断強度が増加し、これに伴って回転トルクが増大すると懸念され、極端な場合装置能力を越え、回転不能となる恐れもある。そこで理論計算と実験から、砂質土におけるトルク特性を検討したので報告する。

2. トルクの算定式 ローラリスクリーパの回転トルクは近似的に次式で与えられる。

$$T = T_0 + T_1 + T_2 + T_3$$

$$= T_0 + P_e \left\{ (4.46 \times 10^{-2} K + 3.36 \times 10^{-2}) \tan \phi + 3.65 \times 10^{-3} K + 1.002 \times 10^{-2} \right\} \quad (1)$$

但し

$$T_0; \text{ローラリスクリーパの回転トルク (t-m)}$$

$$T_1; \text{無負荷トルク (t-m)}$$

$$T_1; \text{上面のせん断トルク} = \alpha P_e \tan \phi (\cos \theta + K \sin \theta) \left(\frac{D^3}{3} - \frac{D_a^3}{2} + \frac{D^2 d}{4} \right) \quad (t-m)$$

$$T_2; \text{側面のせん断トルク} = \frac{1}{4} D^2 \times h P_e \tan \phi (\sin \theta + K \cos \theta) \quad (t-m)$$

$$T_3; \text{底面摩擦抵抗によるトルク} = \alpha \mu P_e (\cos \theta + K \sin \theta) \left(\frac{D^3}{3} - \frac{D_a^3}{2} + \frac{D^2 d}{4} \right) \quad (t-m)$$

$$\alpha; \text{スクリーパ開口角度} = \frac{2}{3}\pi \text{ (ラジアン)}$$

$$P_e; \text{垂直土圧} = \gamma (H + H') + w \quad (t/m^2)$$

$$\gamma; \text{土の比重} = 1.8 \quad (t/m^3)$$

$$H; \text{土被り (m)}$$

$$H'; \text{マシン天端からスクリーパ中心までの高さ} = 1.3 \quad (m)$$

$$w; \text{上載荷重} = 1 \quad (t/m^2)$$

$$\theta; \text{スクリーパの取付勾配} = 20^\circ$$

$$K; \text{土圧係数}, \quad \phi; \text{内部摩擦角 (°)}$$

$$\alpha; \text{羽根有効長さ} = 0.17 \quad (m), \quad \mu; \text{土と底板との摩擦係数} = 0.5$$

$$D; \text{スクリーパ外径} = 0.65 \quad (m), \quad h; \text{羽根高さ} = 0.18 \quad (m)$$

トルク発生の原因としては、上記の $T_0 \sim T_3$ の他、土粒子のかみ込みや、すりつぶしによるトルク増加が考えられるが、定常的な現象ではないと考えられるので、ここでは省略して考えた。

3. 実験の概要 1)実験装置の概要；製作した実験装置を写真-1に、またその主要諸元を表-1に示した。尚土圧計の取付位置は、スクリーパ上面より 13 cm 上の試料箱前壁面（推力方向に対して垂直面）中心に埋込んである。2)試料土；試料土として用いた川砂の粒径分布、湿润密度（試料箱に詰めた状態）および含水比を図-1に示した。3)実験方法 ①試料土の作成法；試料箱上部より川砂を入れ、高さ 10 cm 毎に足で踏み固め、満杯後

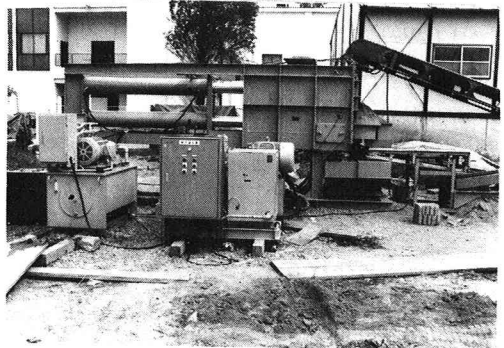
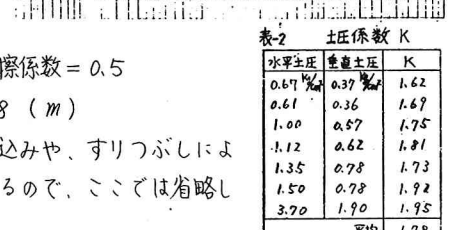
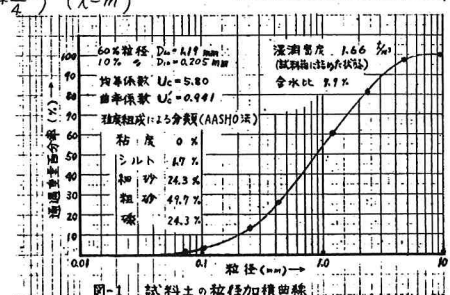


写真-1 実験装置

項目	仕様
回転トルク	3 t-m (at 130%)
回転数	2.7 rpm (max.)
スクリーパ外径	650φ
φ 高さ	180 mm
試料箱	1 m ²
推力	60t × 2 = 120t
土圧計	容量 5 kN/m ² 出力電流 0.25% 外径 30φ



上蓋をボルトで締付ける方法を取った。(ii)起動トルクの測定；作成した試料土に對して水平方向に推力をかけ、土圧をセットし、負荷状態でロータリースクレーパーを回転させ、そのときの回転トルク(油圧)をペンレコーダで記録した。尚試料土は1回実験を行う毎に全部入れ換えた。

4. 実験結果と考察

- 1) 実験結果；起動トルクの実測データを図-2に示した。
- 2) Kの推定；試料箱上壁に同一規格の土圧計を取り付け、水平方向に推力をかけた場合の垂直方向と水平方向の土圧を比較した結果を表-2に示した。土圧上昇に伴って若干のKの増加傾向が伺えらるが、顕著ではないので、ここでは簡単のため、Kは土圧によらず一定と仮定し、平均値K=1.78をとることとする。
- 3) 中の推定；中は同一の試料土でも試料箱への詰め方すなわち密度により変化すると言われている。(i)砂の詰め方による密度のバラツキ；川砂の重量を測定し、全く同一方法で踏み固めたときの密度を求めてたところ4.2%の差があつた。(ii)推力をかけたときの密度変化；作成した試料土に1~3%の土圧をかけ、このときの後壁の移動距離を測定し、体積変化を求めた結果、1.1~1.8%体積の減少が見られ、その分密度が増加することが判った。この(i)と(ii)を合わせても高々6%程度の差と考えられる。そこでここでは簡単のため密度はほぼ一定と仮定し、従って中を一定と仮定すると、上記K=1.78および図-2のグラフより中を推定できること。すなわち中=28.5°となつた。この値は文献¹⁾によると丸味のある粒子、均等な粒子がゆるい締まり具合の状態にあるときの中に相等する。一方中を一定と考えないで、最大最小のデータから中のバラツキを推定すると4.2°≤中≤39.6°となる。以上の結果をもとに、中=30°、Kをパラメータとしたグラフを図-3に示した。
- 4) 中の影響に対する考察；一般にせん断強度ではT=P_etan中で与えられるから、P_e、中が大きくなればとも大きくなり、この結果Tはどんどん大きくなると考えられ。しかるに今ゆるみ高さを考慮すると、中が増大によりP_eは減少するので、この両者の効き方では決まり、従ってTも決まることになる。

ゆるみ高さH_o(m)は次式で与えられる。

$$H_o = \frac{B}{K \tan \phi} (1 - e^{-K \tan \phi \frac{H}{B}}) + \frac{w}{g} e^{-K \tan \phi \frac{H}{B}} \quad (2)$$

$$\text{但し } B = R_0 \cos(45^\circ - \frac{\phi}{2}) + H_0 \cos(45^\circ + \frac{\phi}{2})$$

$$H_0 = R_0 \{ 1 + \sin(45^\circ - \frac{\phi}{2}) \}$$

$$R_0 = \text{掘削半径} = 0.75 \text{ (m)}$$

いまH=10m、K=0.8の条件で、中によるtan中、H_o、Tを(1)、(2)式より求め図-4に示した。(i)土圧のバラツキに対する考察；砂の詰め方が平均してないといふ土圧計の位置により土圧が異なると考えられる。そこで同一規格の土圧計を20cm間隔に2ヶ所横列に並べ、両者の土圧を比較した結果を表-3に示した。表-3より土圧1~3%のとき15%程度のバラツキがあることが判つた。

5. むすび 砂質土に対するトルク特性の考察から、中が大きくなつたときTは極端に大きくなると推定されらるが、ゆるみ高さを考慮すると、Tは中の大きさにそれ程左右されない結果となつた。今後この結果を裏付けるため、アーチ効果を加味できる実験を検討する予定である。

脚注) 河上；土質力学, p93, 森北出版, 1976

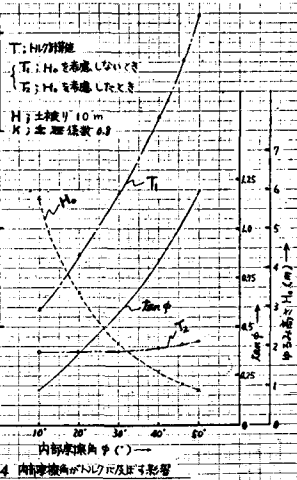
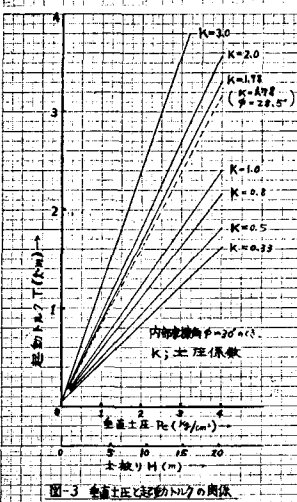
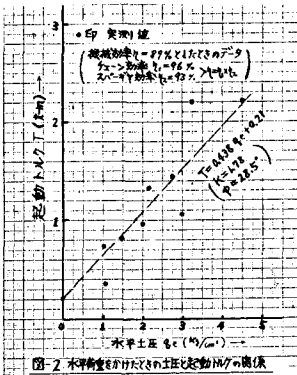


表-3 土圧計位置による差		
測定位置	比較位置	差 (%)
0.31%	0.24%	0.07%
0.86	0.72	0.14
1.45	1.22	0.23
2.05	1.76	0.29
2.81	2.50	0.31
3.50	3.26	0.24
		平均 14.4%